

Kapitel 8

Das Traveling Salesman Problem

Effiziente Algorithmen, SoSe 2018

Professor Dr. Petra Mutzel

Dr. Bernd Zey

VO 19 am 26. Juni 2018

Übersicht

I. Effiziente Graphalgorithmen

- ② Starke Zusammenhangskomponenten
- ③ Matching-Probleme
- ④ Maximale Flussprobleme
- ⑤ Amortisierte Analyse
- ⑥ Minimale Schnitte

II. Approximationsalgorithmen

- ⑦ Rucksackproblem, Bin Packing Problem
- ⑧ Traveling Salesman Problem
- ⑨ Erfüllbarkeitsprobleme
- ⑩ Schnittprobleme

Design-Techniken im Verlauf der Vorlesung

- ① Die Greedy-Methode: Rucksackproblem (Kap. 7)
- ② Dynamische Programmierung: Rucksackproblem (FPTAS) (Kap. 7)
- ③ Inkrementelle Algorithmen für Partitionsprobleme: Bin Packing Problem (Kap. 7)
- ④ Spezielle, problemabhängige Verfahren: Traveling Salesman Problem (Kap. 8)
- ⑤ LP-basierte Verfahren, randomisiert: Max k SAT (Kap. 9)
- ⑥ Lokale Suchverfahren, randomisiert: Max Cut (Kap. 10)

Wiederholung

Definition Güte Sei $s \in S(w)$ (**zul. Lösung**) zu $w \in I$
$$r := \max \left\{ \frac{v(s)}{\text{OPT}(w)}, \frac{\text{OPT}(w)}{v(s)} \right\}$$

heißt **Güte** der Lösung s

Definition Polynomialzeitalgorithmus A ,
der immer Lösung mit Güte $\leq r_A$ liefert,
heißt **r_A -Approximation**

Definition Optimierungsproblem
mit r -Approximation für konstantes $r \geq 1$
heißt (**konstant**) **approximierbar** und
gehört zur Klasse \mathcal{APX}

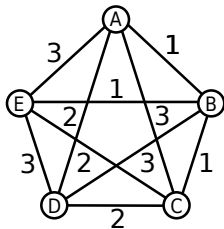
Literatur zum Traveling Salesman Problem (TSP)

- Lawler, Lenstra, Kan, Shmoys: The Traveling Salesman Problem: A Guided Tour of Combinatorial Optimization
(der Klassiker)
- Applegate, Bixby, Chvatal, Cook: The Traveling Salesman Problem: A Computational Study
(das Aktuelle)
- Website: <http://www.math.uwaterloo.ca/tsp/>
(hier findet man alles)

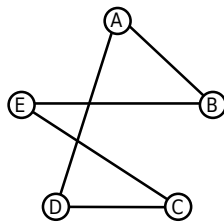
Das Traveling Salesman Problem (TSP)

Gegeben Vollständiger, ungerichteter Graph $G = (V, E)$, $n := |V|$,
mit Kantengewichten (Kosten) $w : E \rightarrow \mathbb{N} \cup \{\infty\}$

Gesucht Hamiltonkreis („Rundreise“, „Tour“) $C \subseteq E$ mit
 $\min \sum_{e \in C} w(e)$

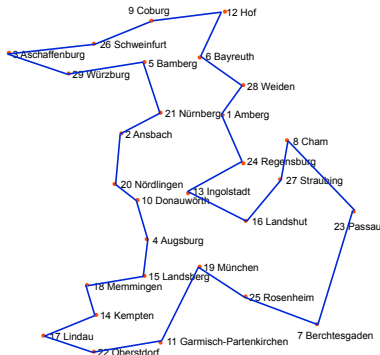


$G = (V, E)$ mit $w(e), \forall e \in E$



Tour C : A, B, E, C, D, A
Kosten $w(C) = 8$

Motivation



Viele Anwendungen, z.B.:

- Tourenplanung, Vehicle Routing, ...
- Bohrprobleme, Plotterprobleme
- Genome Sequencing (Bioinformatik)

→ Grundlegendes, gut untersuchtes Optimierungsproblem

Das Traveling Salesman Problem (TSP)

äquivalente Definition

Eingabe Symmetrische $n \times n$ Distanzmatrix $D = (d_{i,j})$
mit $d_{i,j} \in \mathbb{N} \cup \{\infty\}$

Ausgabe „Rundreise“, „Tour“:

Permutation π von $\{1, 2, \dots, n\}$

mit $\sum_{i=0}^{n-1} d_{\pi((i \bmod n)+1), \pi(((i+1) \bmod n)+1)}$ minimal

klar $\text{TSP} \in \mathcal{NPO}$

bekannt Entscheidungsvariante vom TSP ist \mathcal{NP} -vollständig

Wie sieht es mit Approximationen aus?

Behauptung $\text{TSP} \notin \mathcal{APX}$, sonst $\mathcal{P} = \mathcal{NP}$
d.h. Falls $\mathcal{P} \neq \mathcal{NP}$: TSP **nicht approximierbar**

Beweis: TSP nicht approximierbar

Annahme \exists r -Approximation A für TSP

Betrachte Eingabe $G = (V, E)$ für Hamiltonkreis (HC)

Transformiere (in Polynomialzeit) G zu TSP-Eingabe: Matrix $D^{n \times n}$ mit

$$d_{i,j} = \begin{cases} 1 & \text{falls } \{i, j\} \in E \\ r \cdot n + 1 & \text{sonst} \end{cases}$$

Beobachtung:

	OPT(D)	A(D)
falls $G \in \text{HC}$	n	$\leq r \cdot n$ // $A(D) \leq r \cdot \text{OPT}(D)$
falls $G \notin \text{HC}$	$> r \cdot n + 1$	$> r \cdot n + 1$ // $A(D) \geq \text{OPT}(D)$

also \exists r -Approximation für TSP

$\Rightarrow \text{HC} \in \mathcal{P} \Rightarrow \mathcal{P} = \mathcal{NP}$ \square

Eingeschränkte TSP-Varianten

Definition: Metrisches TSP:

zusätzlich **Δ -Ungleichung**: $\forall i, j, k: d_{i,k} \leq d_{i,j} + d_{j,k}$
(hier betrachtet)

Definition: Euklidisches TSP:

Eingabe: n Punkte $x_1, x_2, \dots, x_n \in \mathbb{R}^2$

Distanzen $d_{i,j}$ implizit gegeben durch

$$d_{i,j} := \sqrt{(x_i[1] - x_j[1])^2 + (x_i[2] - x_j[2])^2}$$

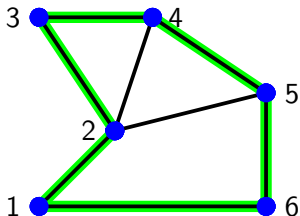
Vorsicht: reelle Zahlen

Aber: im Kontext der Approximation *nicht so kritisch*

Approximationen für das metrische TSP

Was hilft beim metrischen TSP?

Beobachtung „Mehrfachbesuche“ **kostenlos reparierbar**



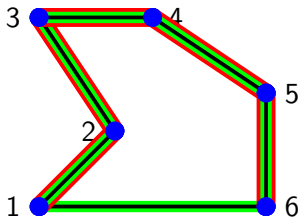
klar Knoten auslassen geht immer

aber nur beim metrischen TSP
 $d_{4,5} \leq d_{4,2} + d_{2,5}$ wegen Δ -Ungleichung
also Gesamtkosten nicht größer

Idee zur Approximation

Wie finden wir günstiges Tourgerüst?

Beobachtung Touren enthalten interessante bekannte Komponenten



Beobachtung Tour enthält Spannbaum

darum $OPT \geq v(MST)$

also nehme minimalen Spannbaum als „Gerüst“

„Gerüst“ \rightsquigarrow Tour? mit Hilfe von Multigraph und Eulerkreis

Einschub: Multigraph, Eulerkreis

Definition 8.1

Ein ungerichteter *Multigraph* $G = (V, E)$ ist definiert durch eine endliche Knotenmenge V und eine endliche Multimenge (die Kanten) über $(V \times V) \setminus \{\{v, v\} \mid v \in V\}$.

Definition 8.2

Sei $G = (V, E)$ ein ungerichteter Multigraph. Ein *Eulerkreis* ist ein Kreis in G , der jede Kante genau einmal enthält.

Anmerkung Eulerkreise in $\mathcal{O}(|V| + |E|)$ berechenbar

Idee für Algorithmen MST \rightsquigarrow Eulerkreis \rightsquigarrow Tour

Lemma 8.3

Ein zusammenhängender Multigraph $G = (V, E)$ enthält einen Eulerkreis \Leftrightarrow alle Knoten in G haben geraden Grad

Beweis von Lemma 8.3

„ \Rightarrow “: Eulerkreis \rightsquigarrow alle Knotengrade gerade

Berechne Knotengrade Durchlaufe Eulerkreis:
zähle jedes Betreten und Verlassen eines Knotens

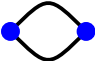
Beobachtung \forall Knoten: $\# \text{Betreten} = \# \text{Verlassen}$

also alle Knotengrade gerade ✓

„ \Leftarrow “: alle Grade gerade \rightsquigarrow Eulerkreis

vollständige Induktion über $m := |E|$

Induktionsanfang leer für $m \in \{0, 1\}$

für $m = 2$  ✓

Beweis von Lemma 8.3: \forall Grade gerade \rightsquigarrow Eulerkreis

Haben zusammenhängenden Graph $G = (V, E)$
alle Knotengrade gerade, Induktionsschritt mit $m > 2$

Konstruiere einen Kreis:

1. Starte in beliebigem Knoten v
2. Falls $\exists w$ unbesucht mit $\{v, w\}$ unbenutzt
3. Dann markiere v und $\{v, w\}$; $v \leftarrow w$; Weiter bei 2;
4. Sonst wechsele zu bereits besuchtem Nachbarn w ; STOP;

Beobachtung **Möglich?** Ja, da alle Knotengrade gerade

Beobachtung **Endstück** des Pfades ist ein Kreis K

Betrachte $G' = (V, E \setminus K)$

Beobachtung bei jedem Knoten auf K ändert sich Grad um -2

also jeder Knoten in G' hat geraden Grad

darum Induktionsannahme auf G' grundsätzlich anwendbar

Lemma 8.3: G' und die Induktionsannahme

klar $G' = (V, E \setminus K)$ enthält weniger Kanten

Ist G' auch zusammenhängend?

Einsicht muss nicht sein!

Aber Induktionsannahme auf Zusammenhangskomponenten C_i
von G' anwendbar
 \rightsquigarrow jedes C_i enthält einen Eulerkreis

Beobachtung jedes C_i berührt K

also Eulerkreise aus C_i in K einfügen \rightsquigarrow Eulerkreis in G

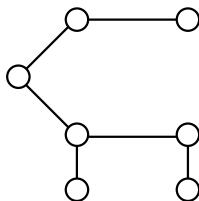


Minimum Spanning Tree Approximation

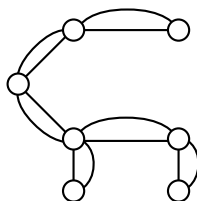
Algorithmus 8.3

1. Berechne MST $T = (V, E_T)$ auf G .
2. Erzeuge Multigraphen $G' = (V, E')$ mit $E' = \{e, e \mid e \in E_T\}$.
3. Berechne Eulerkreis K auf G' .
4. Berechne π : durchlaufe K und entferne mehrfach vorkommende Knoten.
5. Ausgabe π

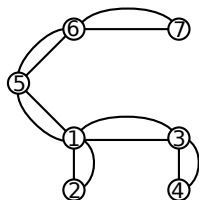
MST Approximation – Beispiel



MST T

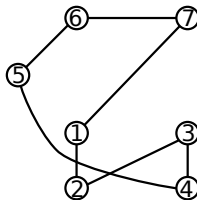


Multigraph G'



Eulerkreis K :

1,2,1,3,4,3,1,5,6,7,6,5,1



Tour π :

1,2,3,4,5,6,7,1

Minimum Spanning Tree Approximation

Algorithmus 8.3

1. Berechne MST $T = (V, E_T)$ auf G .
2. Erzeuge Multigraphen $G' = (V, E')$ mit $E' = \{e, e \mid e \in E_T\}$.
3. Berechne Eulerkreis K auf G' .
4. Berechne π : durchlaufe K und entferne mehrfach vorkommende Knoten.
5. Ausgabe π

Theorem 8.4

Algorithmus 8.3 hat Laufzeit $\mathcal{O}(n^2)$ und ist eine 2-Approximation für das metrische TSP.

Beweis von Theorem 8.4

Was ist zu zeigen?

- ① Laufzeit
- ② Korrektheit
- ③ Güte

zur Laufzeit

- ① MST-Berechnung in Zeit $\mathcal{O}(n^2)$
(Algorithmus von Prim mit Fibonacci-Heaps)
- ② Multigraphberechnung in Zeit $\mathcal{O}(n)$
- ③ Eulerkreisberechnung in Zeit $\mathcal{O}(n)$
- ④ Tourberechnung in Zeit $\mathcal{O}(n)$
- ⑤ Ausgabe in Zeit $\mathcal{O}(n)$

Gesamtlaufzeit $\mathcal{O}(n^2)$

zur Korrektheit

nur kritisch: ist G' zusammenhängend, alle Knotengrade gerade?

Beobachtung wegen MST + Verdopplung gesichert ✓

Beweis von Theorem 8.4: Zur Güte

Betrachte Wert einer optimalen Lösung OPT

Betrachte Wert des Spannbaums $v(T) = \sum_{\{i,j\} \in E_T} d_{i,j}$

Erinnerung $v(T) \leq \text{OPT}$
weil (optimale) Tour Spannbäume enthält

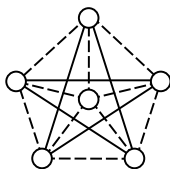
also $v(\pi) \leq \sum_{\{i,j\} \in K} d_{i,j} = \sum_{\{i,j\} \in E'} d_{i,j} = 2v(T) \leq 2\text{OPT}$

also $\frac{v(\pi)}{\text{OPT}} \leq 2$

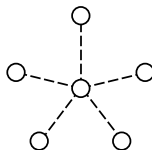


MST Approximation – Beispiel

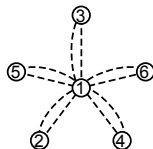
--- 1
— 2



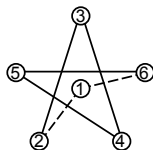
Graph G



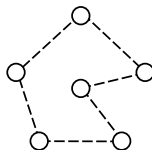
MST T



Eulerkreis K :
1,2,1,3,1,4,1,5,1,6,1



Tour π ,
 $v(\pi) = 10$



π_{OPT} ,
 $v(\pi_{\text{OPT}}) = 6$

⇒ Dieses Beispiel führt zum **Worst-Case**:

für n Knoten Kosten n vs. $2n - 2$

⇒ Güte $(2n - 2)/n \rightsquigarrow 2$, d.h. Güte 2 ist *scharf*

Überlegungen zur 2-Approximation

Wir haben 2-Approximation für das metrische TSP
 \Rightarrow metrisches TSP $\in \mathcal{APX}$

Geht es nicht besser?

Wo verlieren wir viel?

Problem durch Spannbaumverdopplung Faktor 2

Problematisch Abschätzung des Gewinns durch Abkürzungen

Folgerung Können wir Spannbaumverdopplung einsparen?

Einsparen der Spannbaumverdopplung

Warum verdoppeln wir den Spannbaum überhaupt?

Erinnerung damit alle Knoten geraden Grad haben
für Eulerkreis-Konstruktion

Beobachtung zusätzliche Kanten nur nötig
für Knoten mit ungeradem Grad

Idee Identifiziere Knoten mit ungeradem Grad in T
→ verbinde paarweise durch möglichst günstige Kanten

Erinnerung „verbinde paarweise“ \leftrightarrow Matching

also Suche **kostenminimales perfektes Matching** M
→ **perfekt**: alle Knoten sind besetzt
→ **kostenminimal**: Summe der Kantengewichte in M ist minimal
Fakt in Zeit $O(n^3)$ berechenbar

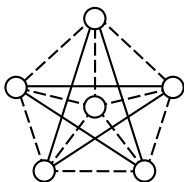
Algorithmus von Christofides

Algorithmus 8.5

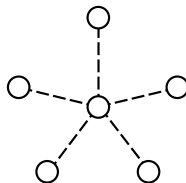
1. Berechne MST $T = (V, E_T)$ auf G .
2. Berechne Menge V' der Knoten mit ungeradem Grad in T .
3. Berechne kostenmin. perfektes Matching M auf Knoten in V' .
4. Erzeuge Multigraph $G' = (V, E')$ mit $E' = E_T \cup M$.
5. Berechne Eulerkreis K auf G' .
6. Berechne π : durchlaufe K und entferne mehrfach vorkommende Knoten.
7. Ausgabe π

Algorithmus von Christofides – Beispiel

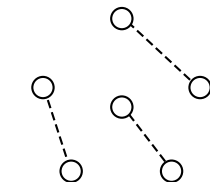
--- 1
— 2



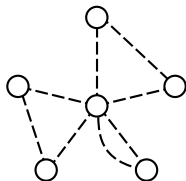
Graph G



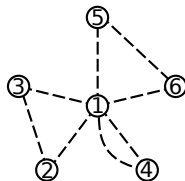
MST T



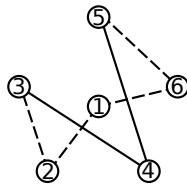
$V' = V$
→ Matching M



Multigraph G'



Eulerkreis K :
1,2,3,1,4,1,5,6,1



Tour $\pi, v(\pi) = 8$

schon gesehen: $v(\pi_{\text{OPT}}) = 6$

Algorithmus von Christofides

Algorithmus 8.5

1. Berechne MST $T = (V, E_T)$ auf G .
2. Berechne Menge V' der Knoten mit ungeradem Grad in T .
3. Berechne kostenmin. perfektes Matching M auf Knoten in V' .
4. Erzeuge Multigraph $G' = (V, E')$ mit $E' = E_T \cup M$.
5. Berechne Eulerkreis K auf G' .
6. Berechne π : durchlaufe K und entferne mehrfach vorkommende Knoten.
7. Ausgabe π

Theorem 8.6

Der Algorithmus von Christofides hat Laufzeit $\mathcal{O}(n^3)$ und ist eine $(3/2)$ -Approximation für das metrische TSP.

Beweis von Theorem 8.6

Was ist zu zeigen?

- 1 Laufzeit
- 2 Korrektheit
- 3 Güte

zur Laufzeit

- 1 MST-Berechnung in Zeit $\mathcal{O}(n^2)$ (Algorithmus von Prim)
- 2 Berechnung von V' in Zeit $\mathcal{O}(n)$
- 3 Matchingberechnung in Zeit $\mathcal{O}(n^3)$
- 4 Multigraphberechnung in Zeit $\mathcal{O}(n)$
- 5 Eulerkreisberechnung in Zeit $\mathcal{O}(n)$
- 6 Tourberechnung in Zeit $\mathcal{O}(n)$
- 7 Ausgabe in Zeit $\mathcal{O}(n)$

Gesamtlaufzeit $\mathcal{O}(n^3)$ ✓

Beweis von Theorem 8.6: Korrektheit

Ist G' zusammenhängend und sind alle Knotengrade gerade?

Zusammenhang folgt aus Spannbaum ✓

gerade Knotengrade gerade Knoten in T : unverändert in G' ✓

ungerade Knoten in T : je 1 neue Kante in G' ✓

Perfektes Matching berechenbar? Ist $|V'|$ gerade?

→ Summe aller Knotengrade in T gerade ($2 \cdot |E|$)

→ Summe aller Knotengrade
der Knoten mit geradem Grad in T gerade

→ Summe aller Knotengrade
der Knoten mit ungeradem Grad in T gerade

→ Anzahl der Knoten mit ungeradem Grad in T gerade ✓

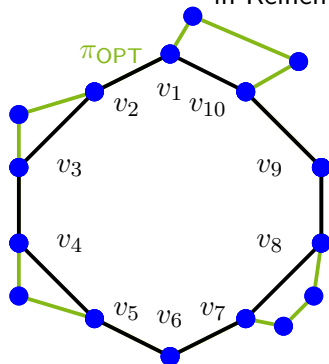
Beweis von Theorem 8.6: Güte

wie vorhin $v(\pi) \leq v(K) = v(T) + v(M) \leq \text{OPT} + v(M)$

zu zeigen $v(\pi) \leq \frac{3}{2}\text{OPT} \Rightarrow v(M) \leq \text{OPT}/2$

Betrachte Knoten aus V' in optimaler Tour π_{OPT} :

Benenne so, dass Knoten in π_{OPT}
in Reihenfolge $v_1, v_2, \dots, v_{|V'|}$ durchlaufen werden



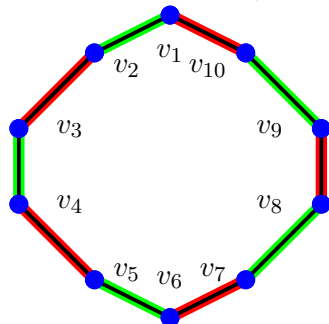
Betrachte Kreis $C = (v_1, v_2, \dots, v_{|V'|}, v_1)$

Beobachtung $v(C) \leq v(\pi_{\text{OPT}}) = \text{OPT}$
(wegen Δ -Ungleichung)

Beweis von Theorem 8.6: $v(M) \leq \text{OPT}/2$

Wir haben

- kostenminimales perfektes Matching M auf Knoten in V'
- $V' = \{v_1, v_2, \dots, v_{|V'|}\}$
- Kreis $C = (v_1, v_2, \dots, v_{|V'|})$ mit $v(C) \leq v(\pi_{\text{OPT}}) = \text{OPT}$



Matching $M_1 = \{\{v_1, v_2\}, \{v_3, v_4\}, \dots\}$

Matching $M_2 = \{\{v_2, v_3\}, \{v_4, v_5\}, \dots\}$

Beobachtung $v(M_1) + v(M_2) = v(C)$
 Beobachtung $\min\{v(M_1), v(M_2)\} \leq v(C)/2$
 Beobachtung $v(M) \leq \min\{v(M_1), v(M_2)\}$
 also $v(M) \leq v(C)/2 \leq \text{OPT}/2 \quad \square$

Anmerkungen zum metrischen TSP

- Algorithmus von Christofides beste bekannte Approximation seit 1976 (!)
- obere Schranke scharf: entsprechende Worst-Case-Instanzen bekannt
- Existenz besserer Approximationen [offen](#)
- [bekannt](#): $\mathcal{P} \neq \mathcal{NP} \Rightarrow \text{metrisches TSP} \notin \mathcal{PTAS}$
- aber: für euklidisches TSP existiert ein PTAS
(siehe Skript, aber nicht Teil unserer Vorlesung)

Design-Techniken für Approximationsalgorithmen im Verlauf der Vorlesung

- ① Die Greedy-Methode: Rucksackproblem (Kap. 7)
- ② Dynamische Programmierung: Rucksackproblem (FPTAS) (Kap. 7)
- ③ Inkrementelle Algorithmen für Partitionsprobleme: Bin Packing Problem (Kap. 7)
- ④ Spezielle, problemabhängige Verfahren: Traveling Salesman Problem (Kap. 8)
- ⑤ LP-basierte Verfahren, randomisiert: Max k SAT (Kap. 9)
- ⑥ Lokale Suchverfahren, randomisiert: Max Cut (Kap. 10)